

絹피 브로인의 沸騰水 鹽酸 및 水酸化나트륨에 의한 加水分解  
—末端아미노基의 定量的變化를 中心으로—

朴 燦 憲 · 都 成 國\*

東亞大學校 自然科學大學 衣類學科

\*東亞大學校 農科大學 蟻絲學科

Hydrolysis of Silk Fibroin with Boiling Water, Hydrochloric Acid,  
and Sodium Hydroxide

—On the Quantitative Change in Terminal Amino Group Content—

Chan Hun Park · Seong Kook Dho\*

Dept. of Clothing and Textiles, Dong-A Univ

\*Dept. of Sericulture, Dong-A Univ.

(1986. 10. 9 접수)

Abstract

Silk fibroin is likely to be hydrolyzed by acids or alkalies at high temperature, and the degree of the hydrolysis has been inferred from the changes in tensile strength and elongation. But, in this experiment, it was intended to infer that from the quantitative changes in terminal amino group content as well as in tensile strength and elongation.

Silk yarn was treated with boiling water, hydrochloric acid, and sodium hydroxide under various conditions.

The boiling water somewhat degraded silk fibroin. Silk yarn treated with sodium hydroxide contained more terminal amino group than that treated with hydrochloric acid. This result agreed fairly well with the loss in weight, tensile strength, and elongation; the terminal amino group content increased with the decrease of tensile strength, elongation, and weight. The damage by sodium hydroxide to the silk fibroin was greater than that by hydrochloric acid.

I. 緒 論

18種의 아미노酸으로構成된 polypeptide 連鎖<sup>1)</sup>인  
絹은 優雅하고 고상한 光澤을 지니고 비교적 保溫性이  
클뿐 아니라, 가늘고 cellulose 纖維보다 가벼워 薄地纖  
物의 製造條件에 적합한 高價의 纖維이다.

그러나 라우지네스 現象<sup>2)</sup>, 낮은 防皺度<sup>3~5)</sup>, 日光에  
의한 黃變現象<sup>6)</sup>, 沸騰水, 酸 및 알칼리에 의한 強力低下  
등<sup>7,8)</sup>의 短點이 있으며, 이를 改善하기 위하여 많  
은 研究가 진행되어 왔다<sup>9~17)</sup>.

특히, 絹의 精練, 染色, 加工時 高溫에서 使用되는  
酸 또는 알칼리는 silk fibroin 을 加水分解시킬 것으로  
예상되며, 단백질섬유의 加水分解는 결국 末端아미노

基量의增加로 생각할 수 있다.

J. Knott<sup>18)</sup> 등은 亞塗酸등으로 羊毛섬유를 處理한 후 末端아미노기量의 變化를 定量하였으며, 鄭<sup>19)</sup>은 羊毛섬유를 methylamine으로 加水分解시켜 末端아미노기量의增加를 酸性染料의 染着量增加로써 확인하였다.

한편 絹섬유의 加水分解에 관한 研究<sup>7, 20)</sup>는 많으나, 末端아미노기를 定量하여 加水分解 정도를 檢討한 경우는 거의 없는 실정이다.

따라서 本實驗에서는 沸騰水, 鹽酸 및 水酸化나트륨으로 處理條件을 달리 하여 加水分解시킨 후, ninhydrin溶液을 사용하여 加水分解에 의해 생성된 末端아미노기를 定量하였으며, 아울러 減量率, 引張強度 및 伸度의 變化를 測定하였다.

## II. 實驗

### 1. 試料

未精練 絹絲(46 denier, 2ply, 20tpi)를 마르세이유 비누水溶液(15% o.w.f)으로 常法에 의해 sericin을 除去하고, 乾燥후 메칠알코올로 8時間 抽出, 乾燥시켜, 標準狀態( $20\pm2^\circ\text{C}$ ,  $65\pm2\%$  R.H.)로 調節된 메시케이터에 保管하여 使用하였다.

### 2. 試藥

加水分解用

Hydrochloric acid(Junsei, Japan, 1級)

Sodium hydroxide (Ishizu, Japan, 1級)

아미노기定量用 :

Pyridine (Shimakyu, Japan, 1級)

Isopropanol (Showa, Japan, 1級)

Ethanol (Wako, Japan, 1級)

Sodium propionate(Junsei, Japan, 1級)

Propionic acid (Junsei, Japan, 1級)

Methyl cellosolve (Shinyo, Japan, 1級)

Ninhydrin (國產化學, Japan, 1級)

L-leucine (Junsei, Japan, 1級)

이상의 試藥을 그대로 使用하였다.

### 3. 加水分解

#### 1) 沸騰水 處理

$100^\circ\text{C}$ 에서 液比 100:1로 0.5, 1.0, 1.5, 2.0, 2.5, 3.0, 3.5, 4.0 時間 처리, 乾燥후 메시케이터에 保管하여 사용하였다.

#### 2) HCl 및 NaOH 處理

##### (1) 濃度 變化

HCl, NaOH 각각 0.02, 0.04, 0.06, 0.08, 0.1, 0.2, 0.4, 0.6 0.8, 1.0% 水溶液에서 液比 100:1로  $90^\circ\text{C}$ 에서 1時間 처리후 中和시켜, 蒸溜水로 충분히 水洗, 乾燥하여, 메시케이터에 保管하여 사용하였다.

##### (2) 處理時間 變化

HCl, NaOH 각각 1% 水溶液에서 5, 10, 20, 30, 40, 50, 60分간, 液比 100:1로  $80^\circ\text{C}$ 에서 처리후 上記의 方法으로 처리, 保管하였다.

##### (3) 處理溫度 變化

HCl, NaOH 각각 1% 水溶液으로 20, 40, 60, 80, 90,  $100^\circ\text{C}$ 에서 液比 100:1로 1時間 처리후 上記의 方法으로 처리, 保管하였다.

### 4. 末端 아미노기의 定量

II-3-1) 및 II-3-2)-(1), (2), (3)項의 方法으로 처리된 試料를 上記의 메시케이터로 24時間이상 conditioning 시킨 후, 10 mg 씩 정확히 秤量하여, J. Knott<sup>18)</sup> 등의 方法에 의해 isopropanol-water(10/90, v/v) 1 ml, pyridine-water(50/50 v/v) 1ml, ninhydrin溶液 2 ml을 각각 넣은 boiling tube에 試料를 浸應시켜 密閉한 후,  $100^\circ\text{C}$ 로 유지된 水槽에서 30分간 反應시키고, 稀釋하여, U.V. Scanning spectrophotometer(CE 594, England)로 최대吸收波長 570nm에서 吸光度를 測定하였으며, Blank는 試料를 넣지 않고 ninhydrin溶液등 4 ml를 上記의 方法으로 처리하여 사용하였다.

標準溶液 L-leucine( $2\times10^{-3}\text{M}$ ) 1 ml을 ninhydrin溶液등 4 ml와 上記의 方法으로 反應시켜 사용하였으며, 이때 吸光度와 L-leucine의 濃度와는 直線的인 比例관계가 있음을 확인하였다.

ninhydrin溶液은

sodium psopionate 20.18 g

propionic acid 9.3 ml

methyl cellosolve 50.0 ml

ninhydrin 2.0 g

을 混合한 후 蒸溜水를 加하여 100 ml가 되도록 하였다.

末端 아미노기의 含量은 아래식으로 計算하였다.

末端아미노기의 量( $\mu\text{mole/g}$ ) =

$$\frac{1\text{ml 표준용액 중 leucine의 양 }(\mu\text{mole})}{\text{시료의 중량(g)}}$$

$$\times \frac{\text{시료의 흡광도}}{\text{표준용액의 흡광도}}$$

### 5. 減量率

HCl, NaOH 處理前後의 試料를 각각 標準狀態로 調

節된 메시케이터에 24時間 conditioning 시킨 후, 아래式에 의거 計算하였다.

$$\text{減量率}(\%) = \frac{\text{處理前의 重量} - \text{處理後의 重量}}{\text{處理前의 重量}} \times 100$$

### 6. 引張強度 및 伸度 測定

KS K 0409, 緩의 引張強度 및 伸度 시험법(외용법)에 準하여, Tensilon UTM-- II--20(TOYO BALDWIN, Japan)으로 아래조건에 의해 測定하였다.

thread length; 100 mm

crosshead speed; 20mm/min

initial tension; 2 g

## III. 結果 및 考察

### 1. 末端 아미노기基数의 變化

#### 1) 沸騰水 處理

沸騰水의 處理時間별 silk fibroin의 末端 아미노基의 變化를 Table 1에 나타내었다. 處理時間에 따라 末端 아미노基의 量이 緩慢히 增加하고 있으며, 이는 silk fibroin의 peptide結合이 끓는 물에 의해 느린速度로 加水分解<sup>2)</sup>됨을 나타낸다.

#### 2) HCl 및 NaOH 處理

##### (1) 濃度 變化

HCl, NaOH 水溶液의 濃度變化에 따른 末端 아미노基의 定量的 變化를 Fig. 1에 나타내었다.

濃度增加에 따라 加水分解가 촉진되어 分子鎖가 많이 切斷되기 때문에, 末端 아미노基의 量은 增加하고 있으며, NaOH의 경우, 濃度 1%이 하에서는 分子鎖의 末端을 많이 攻擊하여, 短은 分子鎖가 溶出<sup>20)</sup>

*<Table 1> Effect of boiling time in water on the terminal amino group content.*

| Boiling time(hr) | Amino group content<br>(μ mole/g) |
|------------------|-----------------------------------|
| Unboiled         | 76.0                              |
| 0.5              | 77.0                              |
| 1.0              | 78.3                              |
| 1.5              | 80.5                              |
| 2.0              | 82.7                              |
| 2.5              | 87.6                              |
| 3.0              | 89.8                              |
| 3.5              | 90.3                              |
| 4.0              | 92.9                              |

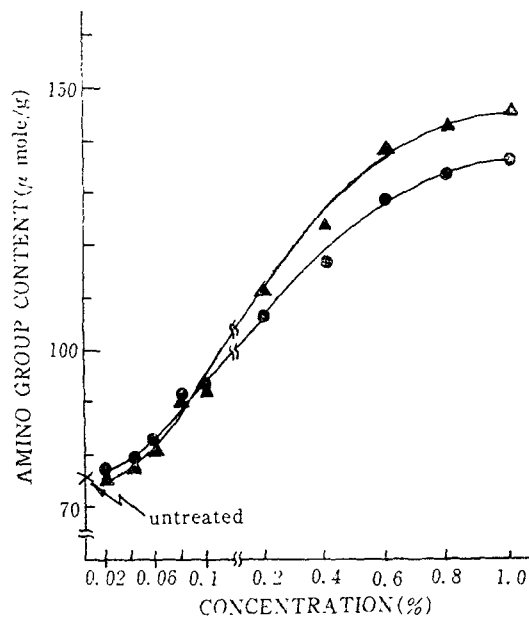


Fig. 1. Effect of concentration of HCl and NaOH on the terminal amino group content of silk yarn at 90°C, 1hour.

●: silk yarn treated with HCl  
▲: silk yarn treated with NaOH

되므로 纖維上의 아미노基의 量은 HCl의 경우보다 적은 것으로 생각된다. 그리고 농도 1%이 상에서는 NaOH가 分子鎖의 末端 뿐만 아니라 全分子鎖를 攻擊하므로, HCl의 경우 보다 末端 아미노基의 量이 많은 것으로 생각된다.

##### (2) 時間 變化

80°C에서 HCl, NaOH 水溶液 처리시 時間變化에 따른 末端 아미노基의 定量的 變化를 Fig. 2에 나타내었다.

時間經過에 따라 HCl 및 NaOH의 silk fibroin에 대한 攻擊機會가 많아졌기 때문에 末端 아미노基의 量은 增加하고 있으며, NaOH의 경우, HCl의 경우보다 末端 아미노基의 量이 더 많다. 이것은 NaOH가 HCl에 비해 纖維내로 浸透,擴散되는 速度가 빠르고, 非結晶領域에의 accessibility가 크기때문에 加水分解速度가 빨라 이러한 動作을 나타낸다고 생각된다.

##### (3) 溫度 變化

Fig. 3은 溫度變化에 따른 末端 아미노基의 定量的 變化를 나타내었다.

溫度가 增加함에 따라 silk fibroin 分子鎖의 热運動이 활발해지고, 分子鎖間 水素結合이 파괴되어 膨潤되며 때문에 HCl, NaOH의 浸透가 용이하게 되어 加水

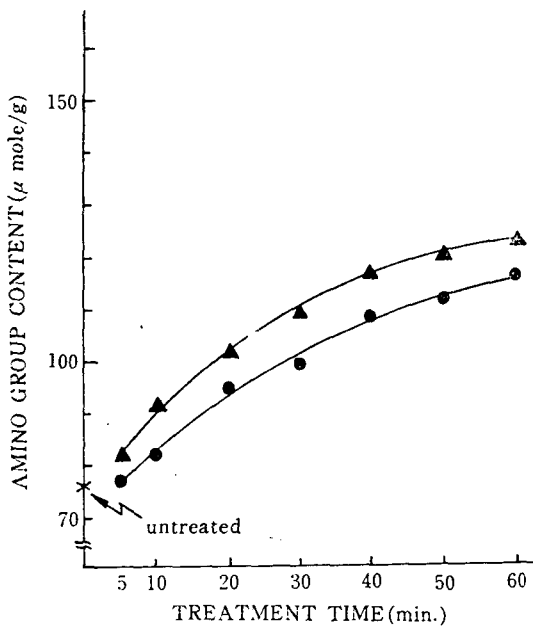


Fig. 2. Effect of treatment time on the terminal amino group content of silk yarn treated with 1% HCl and 1% NaOH at 80°C.  
●; silk yarn treated with HCl  
▲; silk yarn treated with NaOH

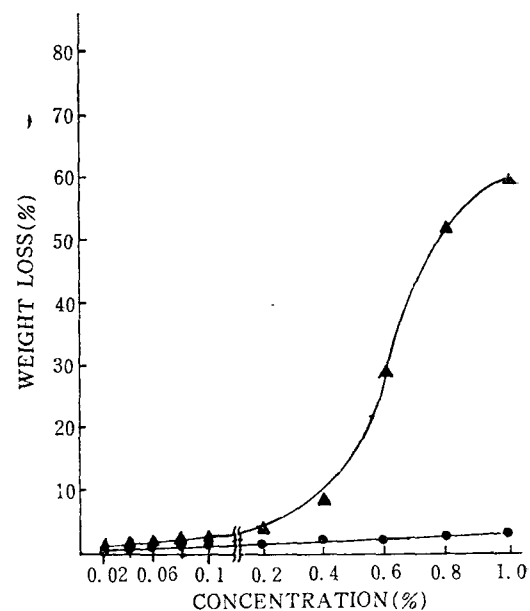


Fig. 4. Effect of concentration of HCl and NaOH on the weight lose of silk yarn at 90°C, 1 hour.  
●; silk yarn treated with HCl  
▲; silk yarn treated with NaOH

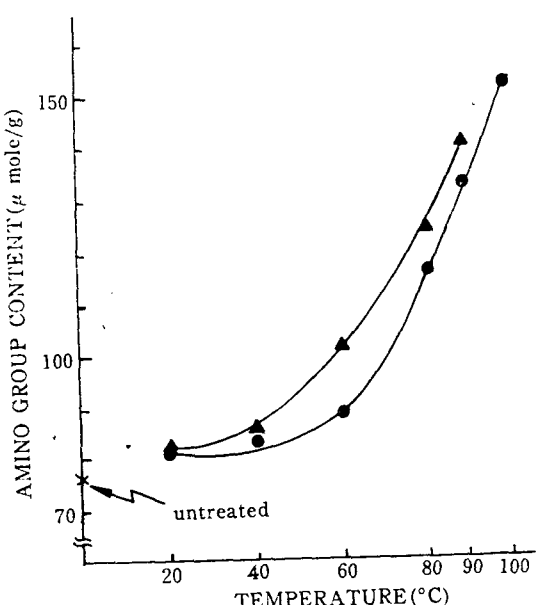


Fig. 3. Effect of temperature on the terminal amino group content of silk yarn treated with 1% HCl and 1% NaOH for 1hour.  
●; silk yarn treated with HCl  
▲; silk yarn treated with NaOH

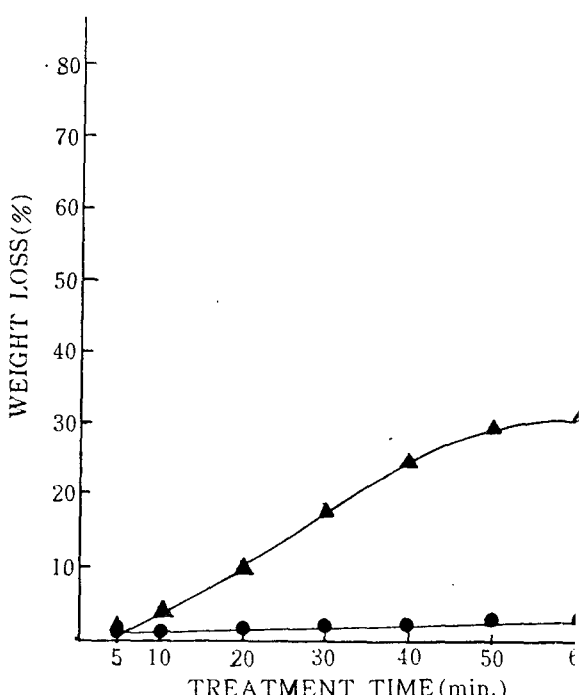


Fig. 5. Effect of treatment time on the weight loss of silk yarn treated with 1% HCl and 1% NaOH at 80°C.  
●; silk yarn treated with HCl  
▲; silk yarn treated with NaOH

分解速度가 빨라진다. 특히, NaOH의 경우, 纖維에의浸透,擴散能力이 HCl보다 크고, 溫度增加의影響을 더욱 많이 받아 HCl보다末端아미노기를 더욱 많이生成시킨 것으로 생각된다.

## 2. 減量率

### 1) 濃度變化

HCl, NaOH水溶液의濃度變化에 따른減量率을 Fig. 4에 나타내었다.

HCl의 경우, 극히緩慢한重量減少現象을 나타내었으나, NaOH의 경우, 농도 0.2% 이상에서重量이急激히減少하고 있다.

HCl의 경우, silk fibroin의全分子鎖에 걸쳐 random하게加水分解를 일으키므로<sup>7,20)</sup>짧은分子鎖의溶液내로의溶出이 적어減量率이낮은반면, NaOH의 경우, 농도 0.1% 이하에서는濃度가充分치 못하여,溶出되는짧은分子鎖의量이적기때문에減量率이높으나,濃度의增加와더불어浸透되는NaOH의量이많아, silk fibroin分子鎖의末端뿐만 아니라全分子鎖에 걸쳐攻擊이일어나므로,溶出되는짧은分子鎖가 많아져減量率이높다. 그리고Fig. 1의아미노基의定量的變化와도 잘一致한다.

### 2) 時間變化

80°C에서 HCl, NaOH水溶液 처리시時間變化에 따른減量率의變化를 Fig. 5에 나타내었다.

時間經過와더불어減量率이增加하고있으며, NaOH의경우가HCl의경우보다그정도가急激하다. NaOH의경우,加水分解가全分子鎖에서일어나지만, 특히,分子鎖의末端에서의切斷現象이HCl의경우보다현저하게많기때문에,溶液내로溶出되는分子鎖가 많아減量率이높은것으로생각된다. 한편HCl의경우, Fig. 2에서나타난바와같이時間經過에따라加水分解는계속일어나고있지만,切斷된分子鎖가길며,分子鎖間水素結合이파괴되지않아,切斷된分子鎖의離脫이어려워減量率이낮은것으로생각된다.

### 3) 溫度變化

Fig. 6은溫度變化에 따른減量率을 나타내었다.

溫度上昇과더불어減量率은增加하고있으나, NaOH의경우그樣相은急激하다.溫度가增加함에따라分子鎖의熱運動이활발해지고,分子鎖間水素結合이弱化되어膨潤現象이增加하므로, HCl 및 NaOH의浸透가용이하게되어,加水分解정도가增加한다는것을Fig. 3에서도알수있으나, NaOH의경우減量率이큰것은알칼리가全分子鎖뿐만아니라,分子鎖의末端

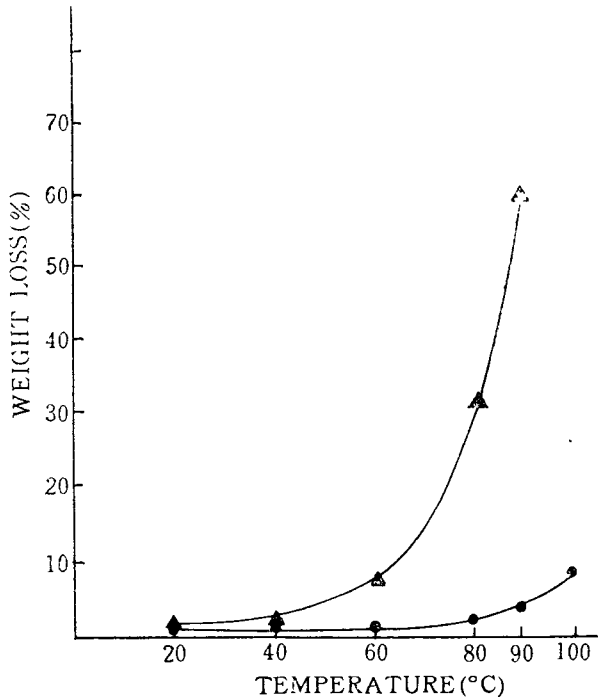


Fig. 6. Effect of temperature on the weight loss of silk yarn treated with 1% HCl and 1% NaOH for 1 hour.  
 ●; silk yarn treated with HCl  
 ▲; silk yarn treated with NaOH

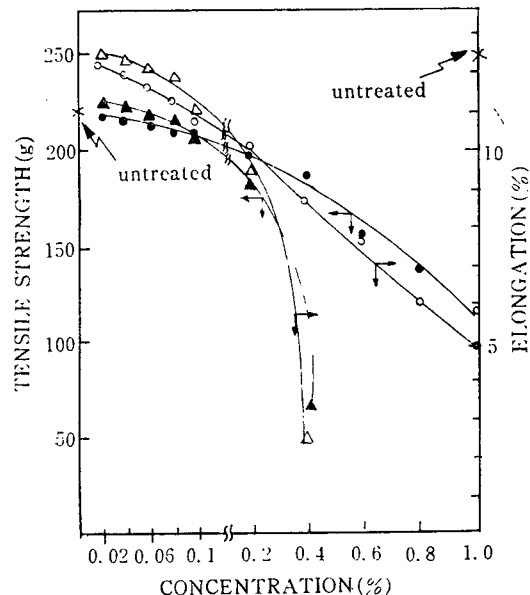


Fig. 7. Effect of concentration of HCl and NaOH on the tensile strength and elongation of silk yarn at 90°C, 1 hour.  
 ●; tensile strength of HCl treated silk yarn  
 ▲; tensile strength of NaOH treated silk yarn  
 ○; elongation of HCl treated silk yarn  
 △; elongation of NaOH treated silk yarn

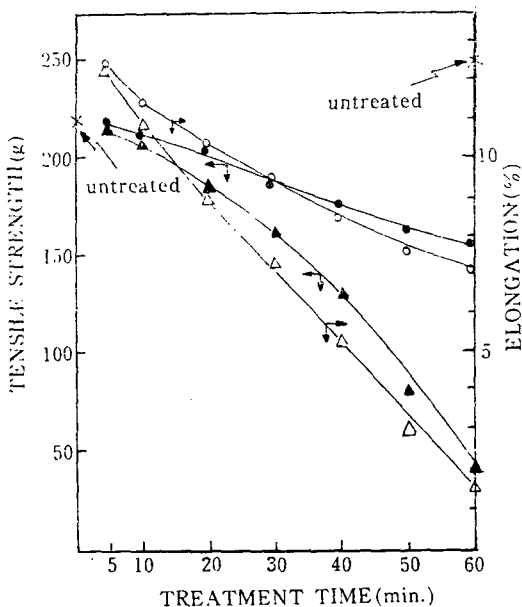


Fig. 8. Effect of treatment time on the tensile strength and elongation of silk yarn treated with 1% HCl and 1% NaOH at 80°C.  
 ●; tensile strength of HCl treated silk yarn  
 ▲; tensile strength of NaOH treated silk yarn  
 ○; elongation of HCl treated silk yarn  
 △; elongation of NaOH treated silk yarn

을 切斷하는 특이한 様相을 보이기 때문에 생각된다.

### 3. 引張度 및 伸度

#### 1) 濃度變化

引張強度 및 伸度의 變化를 Fig. 7에 나타내었다.

引張強度는 濃度의 增加와 더불어 急激한 減少現象을 나타내며, NaOH의 경우, 減少現象이 더욱 急激하여 놓도 0.4% 이상에서 測定이 불가하였다.

이러한 舉動은 silk fibroin의 polypeptide分子鎖가 酸 및 알칼리에 의해 加水分解되어 degradation이 일어나고<sup>7,8)</sup>, 分子間力인 水素結合<sup>22)</sup>이 파괴되었음을 나타낸다.

伸度曲線은 濃度增加와 더불어 減少現象을 나타내고 있다. 이러한 舉動은 酸 및 알칼리에 의한 silk fibroin의 非結晶領域의 溶出로 인한, 結晶領域比率의 增加 및 polypeptide結合의 加水分解로 인한, 分子鎖의 切斷에 기인한다.

또한 酸 및 알칼리 處理時 引張強度 및 伸度의 變化가 서로 다르게 나타나는 것은, 酸과 알칼리의 silk

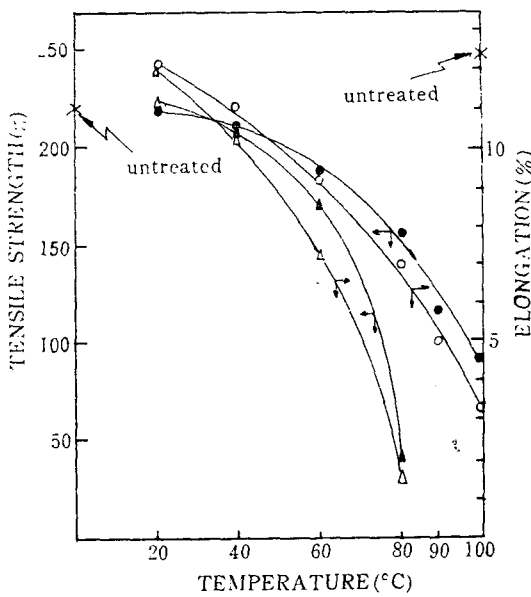


Fig. 9. Effect of temperature on the tensile strength and elongation of silk yarn treated with 1% HCl and 1% NaOH for 1hour.  
 ●; tensile strength of HCl treated silk yarn  
 ▲; tensile strength of NaOH treated silk yarn  
 ○; elongation of HCl treated silk yarn  
 △; elongation of NaOH treated silk yarn

fibroin에 대한 攻擊樣相의 差異때문이며<sup>7,20)</sup>, NaOH의 경우, 0.1% 이하의 低濃度에서는 分子鎖의 末端을 切斷하기 때문에, 分子鎖를 random하게 切斷하는 HCl에 비하여, 強度와 伸度가 큰것으로 생각되며, 그이상의 濃度에서는 NaOH도 역시 分子鎖를 random하게 切斷하게 되어, 引張強度 및 伸度가 急激하게 減少하며, 오히려, HCl의 경우보다 더욱 그값이 적어지는 것으로 생각된다. 이현상은 Fig. 1의 아미노基含量 變化 舉動과 잘一致한다.

#### 2) 處理時間 變化

80°C에서 HCl, NaOH水溶液 처리시 時間變化에 따른 引張強度와 伸度의 變化를 Fig. 8에 나타내었다.

NaOH의 경우, HCl의 경우보다 引張強度 및 伸度가 낮으며, 그 減少現象도 急激하다. 이것은 NaOH가 HCl에 비해 silk fibroin내로의 渗透,擴散하는 速度가 빠르고, 非結晶領域에의 accessibility가 크기때문에, 加水分解 速度가 빨라 이러한 舉動을 나타낸다고 생각되며, Fig. 2의 處理時間 變化에 따른 아미노基의 定量的 變化와 잘一致한다.

### 3) 溫度 變化

Fig. 9는 溫度變化에 따른 引張強度 및 伸度의 變化를 나타내었다.

溫度가 增加함에 따라, 強度 및 伸度는 減少하고 있으며, NaOH의 경우 그 減少現象도 急激하다. 이는 溫度增加와 더불어 silk fibroin 分子鎖의 热運動이 활발해지고, HCl 및 NaOH의 活性이 증가되어 纖維내로의 浸透가 용이해져 polypeptide結合의 加水分解가 촉진되어 分子鎖의 切斷이 많아지기 때문이다. 그리고 NaOH의 加水分解能이 HCl보다 크기 때문에 그 減少舉動이 急激하다고 생각된다. 이는 Fig. 3의 溫度變化에 의한 末端 아미노基의 含量變化와 잘一致한다.

## IV. 結論

silk fibroin을 沸騰水, 鹽酸 및 水酸化나트륨으로 여러가지 條件을 달리하여 處理하여, 그 加水分解 정도를 末端 아미노基의 定量的 變化로써 測定하였으며, 부수적으로 減量率, 引張強度 및 伸度의 變化도 檢討하였다.

處理濃度, 溫度 및 時間이 增加함에 따라 NaOH로 處理한 경우가 HCl로 處理한 경우보다 末端 아미노基의 量이 많았으며, 이는 減量率의 變化舉動, 引張強度 및 伸度의 低下現象과 잘一致하였다. 즉 減量率이 增加할수록, 引張強度 및 伸度가 低下할수록 末端 아미노基의 量은 增加하였다.

沸騰水는 silk fibroin을 다소 加水分解시켰으나 그程度는 微弱하였다.

## 參 考 文 獻

- 1) 北條舒正：績絹糸の構造，信州大學纖維學部，10, (1980)
- 2) 皆川基：絹の科學，關西衣生活研究會，457-467, (1981)
- 3) 尹基鍾, 高錫元：絹纖維에 Disulfide基의 導入, 韓國纖維工學會誌, 18(4), 20-30, (1981)
- 4) 馬錫一, 金信雄：Vinyl單量體에 依한 絹의 Graft重合, 韓國纖維工學會誌, 15(1), 40-47, (1978)
- 5) 盧鴻翼, 元永武, 朴信雄, 馬錫一：Polyalanine의 Graft에 依한 絹纖物의 高級化에 關한 研究, 韓國纖維工學會誌, 14(4), 1-6, (1977)
- 6) 皆川基：絹の科學，關西衣生活研究會，476-497 (1981)
- 7) Asquith, Chemistry of Natural Protein Fibers, Plenum Press, 60-71, (1977)
- 8) Peters R.H., Textile Chemistry, Elsevier Publishing Co., 311-312, (1963)
- 9) 松村正明, 鹽崎英樹：エトキシエチルメタクリレートによる絹のグラフト加工, 纖維加工, 36, 82-86, (1984)
- 10) 塚田益裕, 石黒善夫：メタアクリアミドクラフト加工絹の構造特性, 日蠶雜, 53(2), 121-126, (1984)
- 11) 平林潔, 鈴木孝雄, 石川博：絹の鹽縮, 纖學誌(日)30, 136-141(1974)
- 12) 崔炳熙, 李良厚：絹織物 Wash and Wear 加工研究, 韓蠶誌, 23(1), 47-55(1981)
- 13) 南重熙, 卓泰文：絹織物의 樹脂加工에 關한 研究, 韓蠶誌, 27(2), 28-39(1985)
- 14) Panda G., Pati N.C., Nayak P.L., Grafting Vinyl Monomers onto Silk Fibers., Graft Copolymerization of Methyl Methacrylate onto Silk Using Hydrogen Peroxide-Thiourea Redox System, *J. Appl. Polym. Sci.*, 26, 775-784, (1981)
- 15) Pradhan A.K., Panda, G., Pati N.C., Nayak P.L., Grafting Vinyl Monomers onto Silk Fibers. Graft Copolymerization of Methyl Methacrylate onto Silk Using Peroxydiphosphate-Ascorbic Acid Redox System, *J. Appl. Polym. Sci.*, 26, 3511-3514(1981)
- 16) Mishra M.K., Graft Copolymerization of Methyl Methacrylate(MMA) onto Silk Using Potassium Peroxydiphosphate-Cystein(PP-Cys) Redox System, *J. Appl. Polym. Sci.*, 27, 2403-2408, (1982)
- 17) 安慶祚, 河完植：絹피브로인의 アクリル아미드에 依한 陰이온 그라프트重合에 關한 研究, 韓國纖維工學會誌, 23, 96-110, (1986)
- 18) Knott J., Grandmaire M., Thflen J., Determination of the  $(\alpha+\varepsilon)$  Amino Group content of Wool by Reaction with Ninhydrin., *J. Text. Inst.*, 72, 19-25(1981)
- 19) 鄭英進, Methylamine의 羊毛纖維에 미치는 영향 釜山大學校大學院 碩士學位論文 (1985)
- 20) Lucas F., Shaw J.T.B., Smith S.G., Advanced Protein Chemistry, 13, 177-180 (1958)
- 21) Lucas F., Shaw J.T.B., Smith S.G., ibid, 233, (1958)